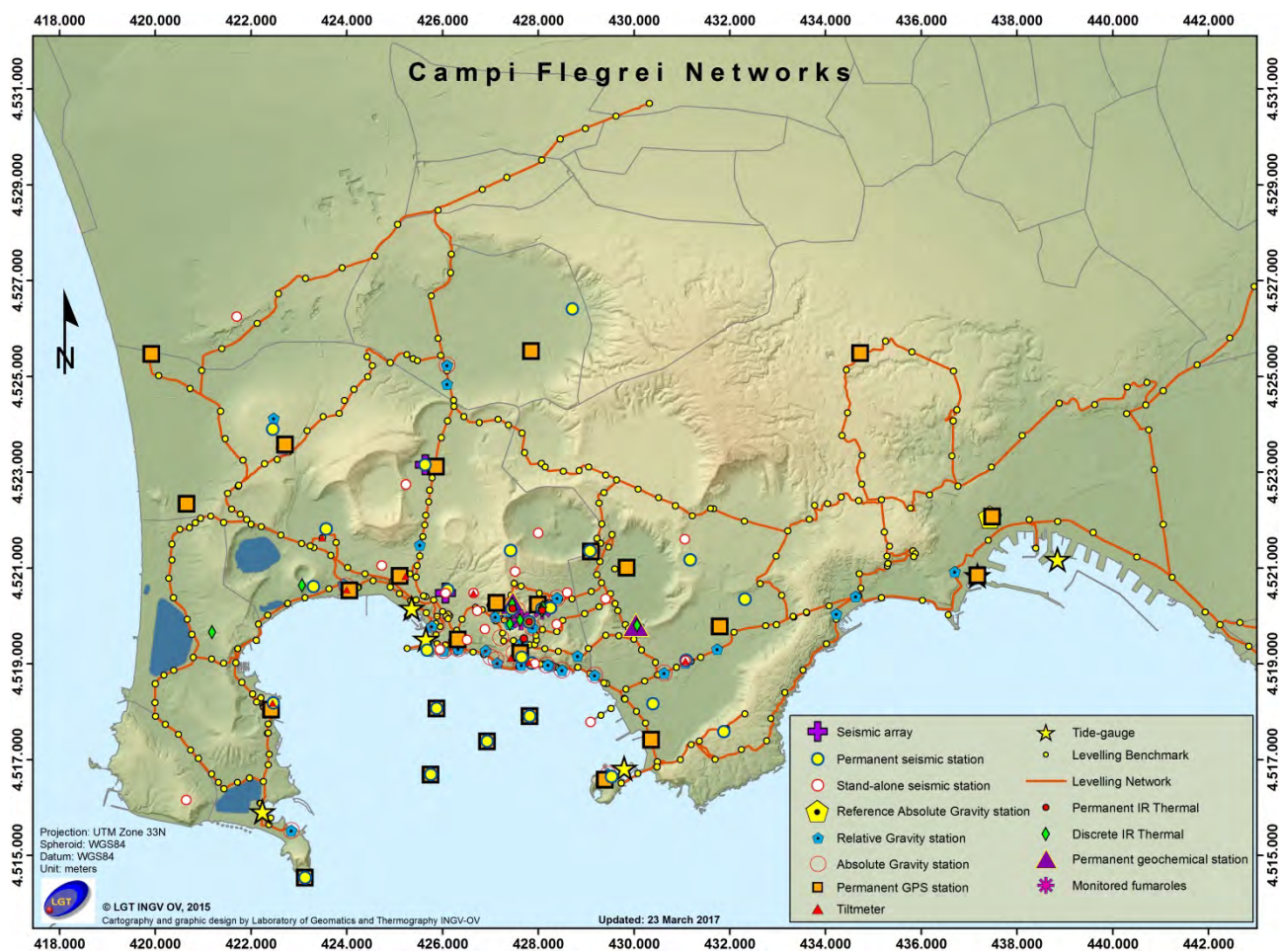




# Bollettino di Sorveglianza

## CAMPI FLEGREI

### AGOSTO 2018



## 1. SISMOLOGIA

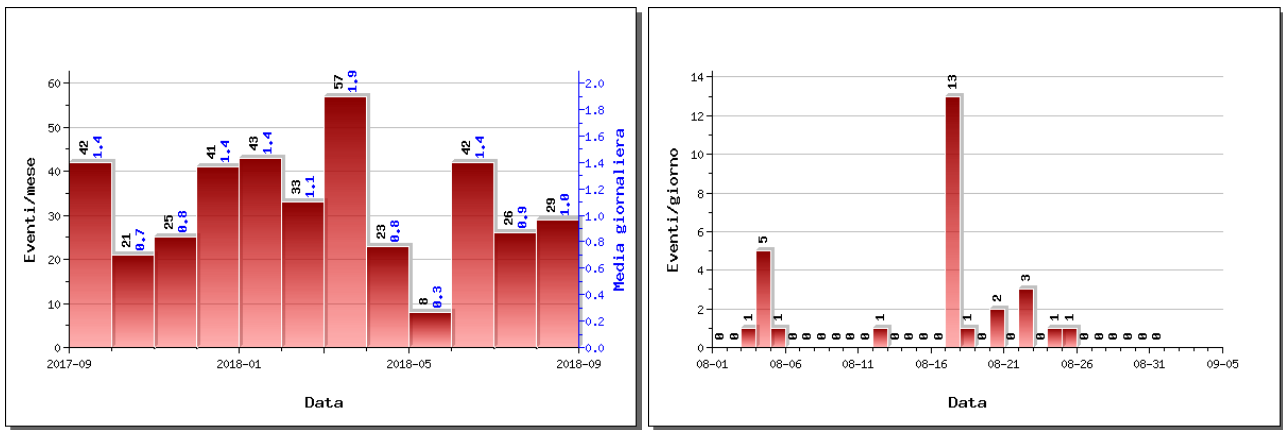
Nel corso del mese di agosto 2018 ai Campi Flegrei sono stati registrati 29 terremoti di bassa magnitudo ( $M_{dmax}=0.5$ ; eventi del 17/08 alle 13:43 e del 20/08 alle 00:26 UTC) (Fig. 1.1).

E' stato possibile determinare l'ipocentro di 19 degli eventi registrati. Le localizzazioni sono mostrate in Fig. 1.2.

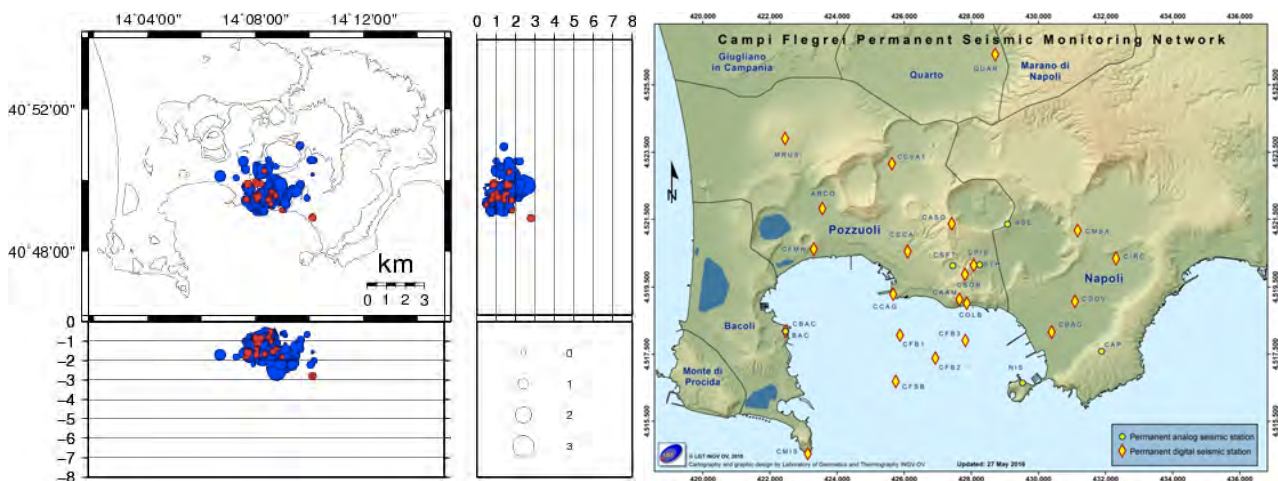
16 terremoti sono stati registrati nel corso di 2 sciami sismici:

- il primo, registrato tra le 01:57 e le 02:05 (UTC) del 04/08, consistito in una sequenza di 5 terremoti con  $-1.1 \leq M_d \leq 0.1$ , localizzati nell'area della Solfatara a profondità di circa 1.5 km;
- il secondo, registrato tra le 13:37 e le 14:06 (UTC) del 17/08, consistito in una sequenza di 11 terremoti con  $-0.3 \leq M_d \leq 0.5$ , localizzati nei dintorni della Solfatara a profondità comprese tra 0.8 e 1.7 km.

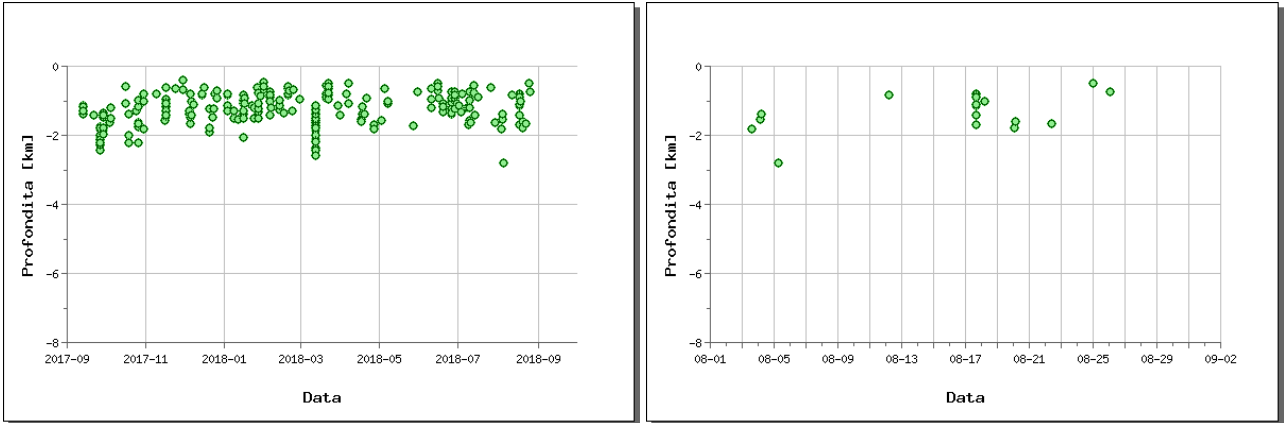
Non si evidenziano trend significativi negli altri parametri sismologici (Fig. 1.3, 1.4, 1.5).



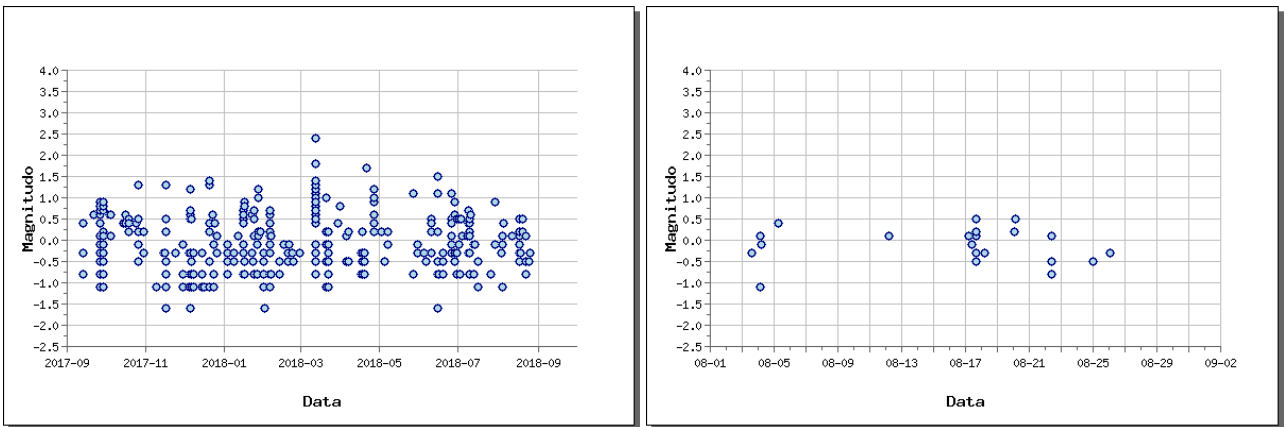
**Figura 1.1** - A sinistra numero di eventi registrati ai Campi Flegrei nel corso degli ultimi 12 mesi (in totale 390), mentre a destra quelli avvenuti nell'ultimo mese (in totale 29).



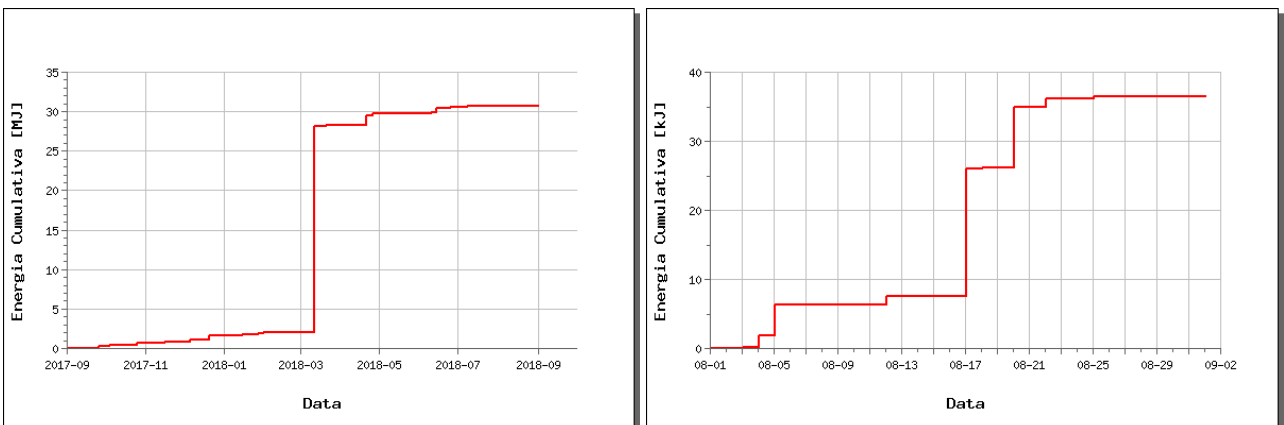
**Figura 1.2** - Localizzazioni ipocentrali ai Campi Flegrei nel corso degli ultimi 12 mesi (in blu) e dell'ultimo mese (in rosso). La dimensione dei simboli è proporzionale alla magnitudo, come indicato nel riquadro in basso. A destra è mostrata la mappa con la Rete Sismica Permanente dei Campi Flegrei.



**Figura 1.3** - Profondità ipocentrali degli eventi registrati ai Campi Flegrei nel corso degli ultimi 12 mesi (a sinistra) e dell'ultimo mese (a destra).

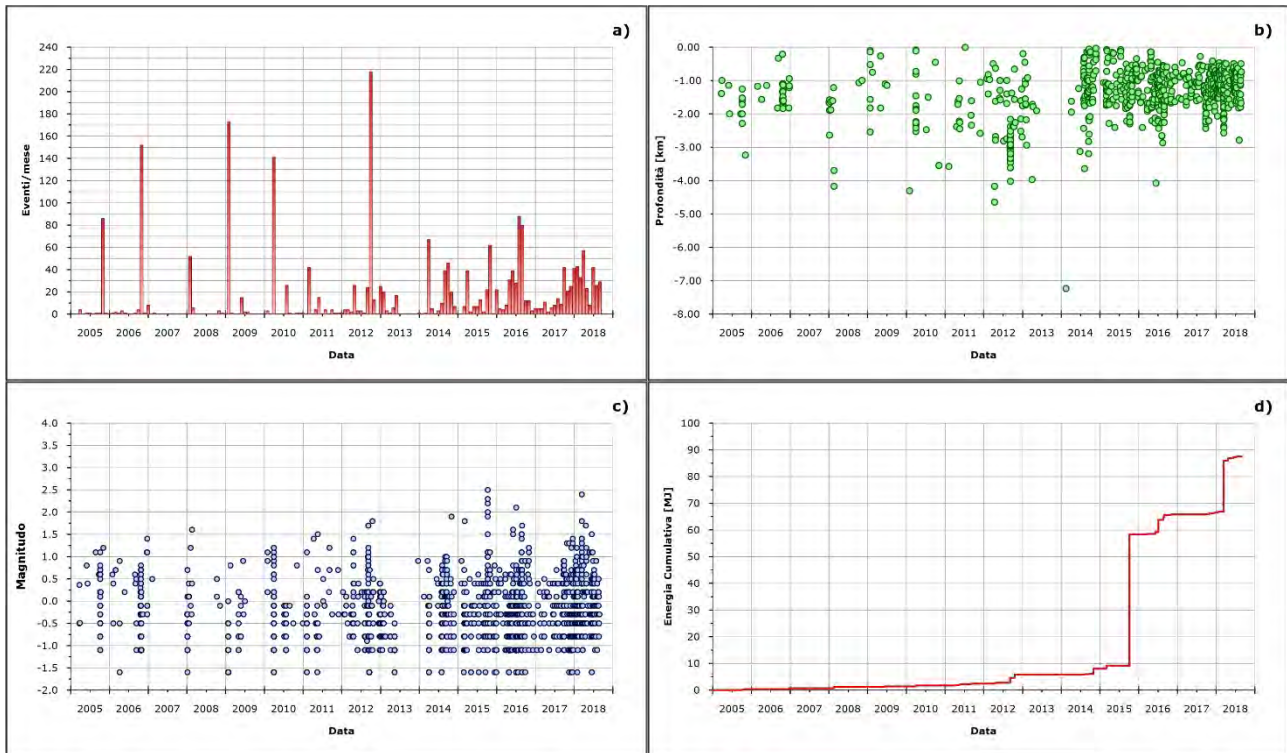


**Figura 1.4** - Magnitudo degli eventi registrati ai Campi Flegrei nel corso degli ultimi 12 mesi (a sinistra) e dell'ultimo mese (a destra).



**Figura 1.5** - Rilascio cumulativo di energia sismica ai Campi Flegrei nel corso degli ultimi 12 mesi (a sinistra) e dell'ultimo mese (a destra).

In figura 1.6 sono rappresentati gli andamenti dei principali parametri sismologici a partire dal 2005.



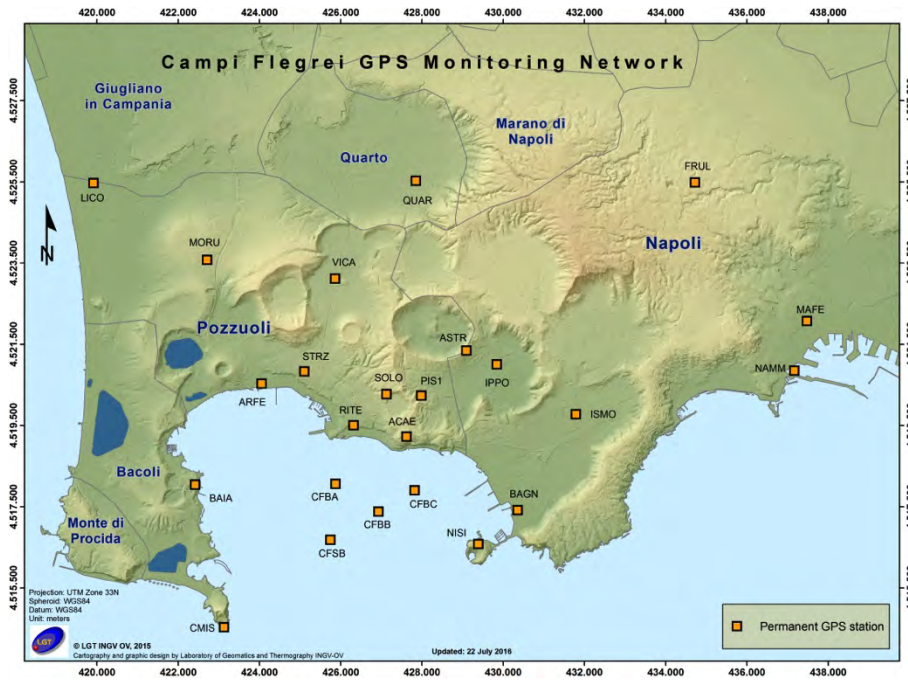
**Figura 1.6** - Andamento dei principali parametri sismologici a partire dal 2005: a) frequenza di accadimento; b) profondità ipocentrali; c) magnitudo; d) energia cumulativa.

## 2. DEFORMAZIONI DEL SUOLO

### GPS

Il sollevamento che interessa l'area flegrea a partire da luglio 2017 è caratterizzato dalla presenza di oscillazioni nelle serie temporali (probabilmente dovute anche a disturbi atmosferici) e mostra un valore medio nell'area di massima deformazione di circa 0.7 cm/mese. Dalla metà di luglio sembra evidenziarsi una stasi o riduzione del sollevamento, come già frequentemente verificatosi nell'ultimo anno, il cui reale andamento sarà valutato con i dati delle prossime settimane.

Il sollevamento registrato alla stazione GPS di RITE è di circa 29.5 cm a partire da gennaio 2014, di cui circa 10 cm da gennaio 2017 (Fig. 2.2 e Fig. 2.3).

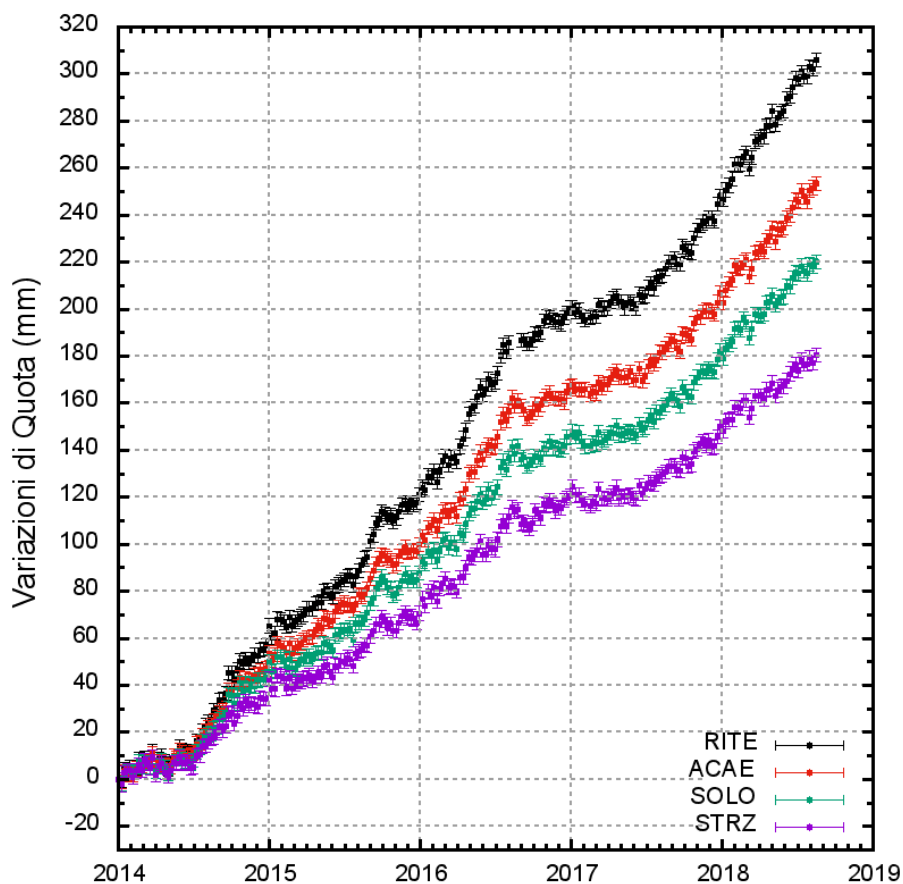


**Figura 2.1** - Rete GPS Permanente dei Campi Flegrei.



**Figura 2.2** - Serie temporale delle variazioni settimanali in quota della stazione di RITE (Pozzuoli – Rione Terra) dal 2000 ad agosto 2018.

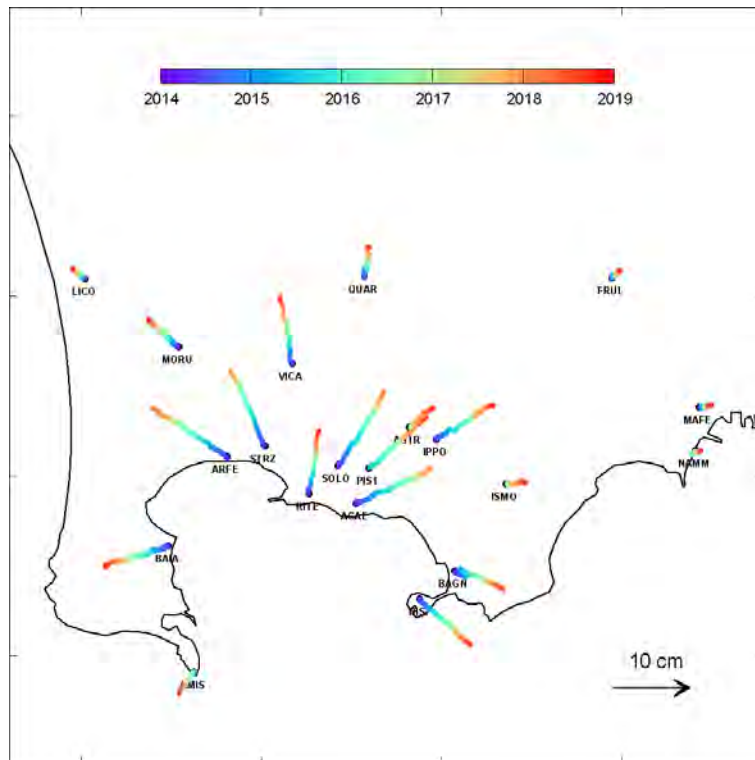
La figura 2.3 riporta le serie temporali delle variazioni in quota di alcune stazioni GPS ubicate nella zona di massima deformazione dei Campi Flegrei. I punti in nero, rosso, verde e viola rappresentano le variazioni settimanali calcolate con i prodotti finali IGS (effemeridi precise e parametri della rotazione terrestre) i quali vengono rilasciati con un ritardo di 12-18 giorni. I punti in blu rappresentano le variazioni giornaliere calcolate con prodotti rapidi IGS in attesa della rielaborazione con i prodotti finali IGS appena disponibili.



**Figura 2.3** - Serie temporale delle variazioni in quota della stazione di RITE (Pozzuoli - Rione Terra), ACAE (Accademia Aeronautica), SOLO (Solfatara) e STRZ (Pozzuoli - Cimitero) da gennaio 2014 ad agosto 2018.

In Figura 2.4 è riportata la mappa dei vettori degli spostamenti orizzontali registrati alle stazioni CGPS ai Campi Flegrei dal 2014.

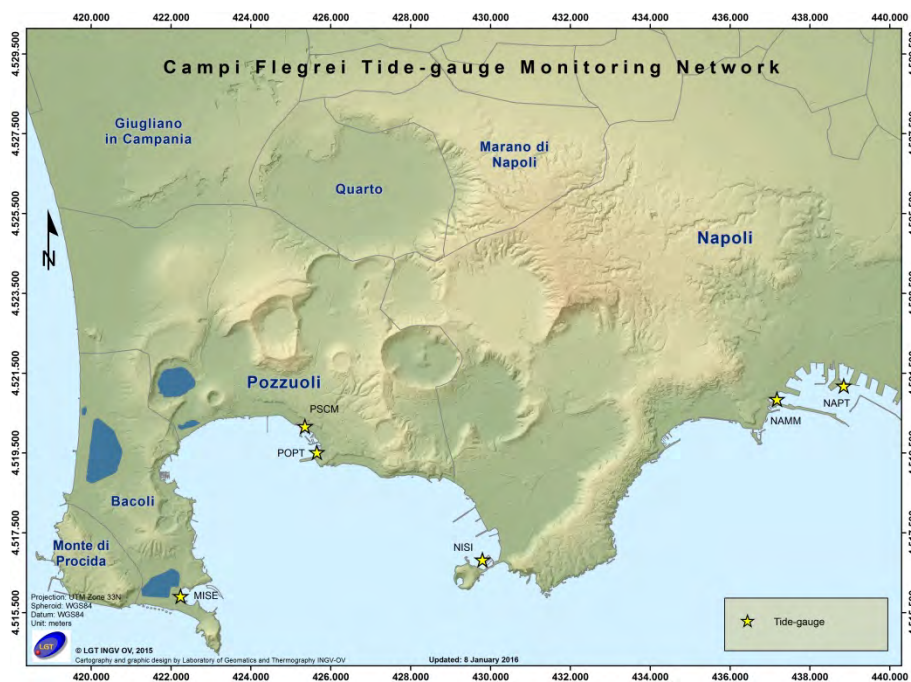
La forma del campo di deformazione è simile a quelle già individuate nelle precedenti fasi del sollevamento e suggerisce una stabilità della sorgente di deformazione, localizzata nel Golfo di Pozzuoli a qualche centinaio di metri a sud della stazione di RITE.



**Figura 2.4** - Mappa degli spostamenti GPS orizzontali registrati nell'area flegrea da gennaio 2014 ad agosto 2018.

### Mareometria

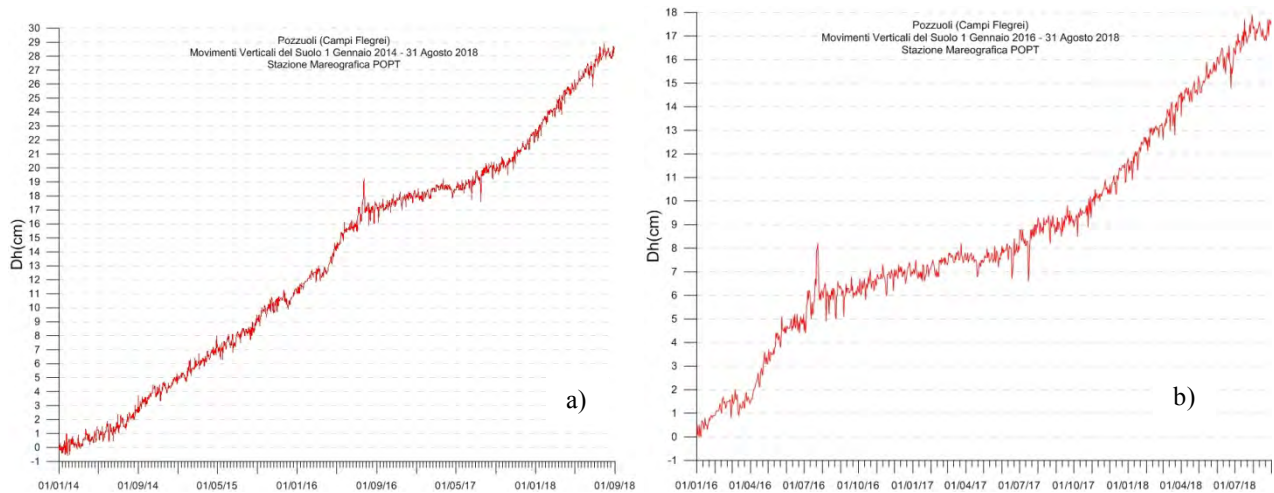
La Rete Mareografica è riportata in Figura 2.5.



**Figura 2.5** - Rete Mareografica di Campi Flegrei.

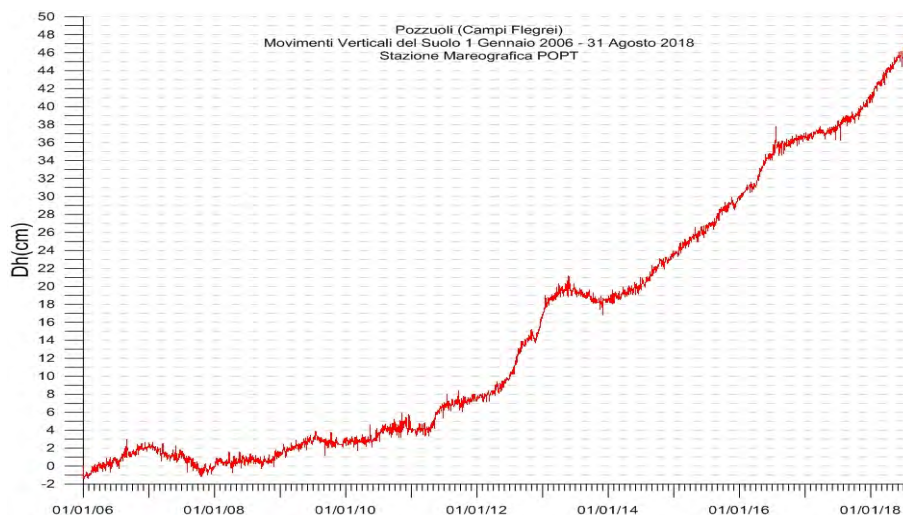
I dati mareografici relativi alla stazione di Pozzuoli Porto nel periodo gennaio 2014 – 31 agosto 2018 mostrano l'andamento di Figura 2.6a, dal quale si evince un sollevamento di circa 28.5 cm. Da gennaio 2016 al 31 agosto 2018 si ha un contributo di circa 17.5 cm di sollevamento (Figura 2.6b).

Il picco visibile verso la fine del mese di luglio 2016 è stato determinato dal malfunzionamento temporaneo del sensore della stazione di riferimento NAMM.



**Figura 2.6** - Movimenti verticali del suolo, nel periodo gennaio 2014 – 31 agosto 2018 (a) e gennaio 2016 – 31 agosto 2018 (b), ottenuti dall'analisi dei dati acquisiti dal sensore digitale alla stazione mareografica di Pozzuoli Porto (POPT) (area centrale della caldera flegrea). Le variazioni riportate rappresentano le medie giornaliere e sono riferite alla stazione di Napoli molo S.Vincenzo (NAMM).

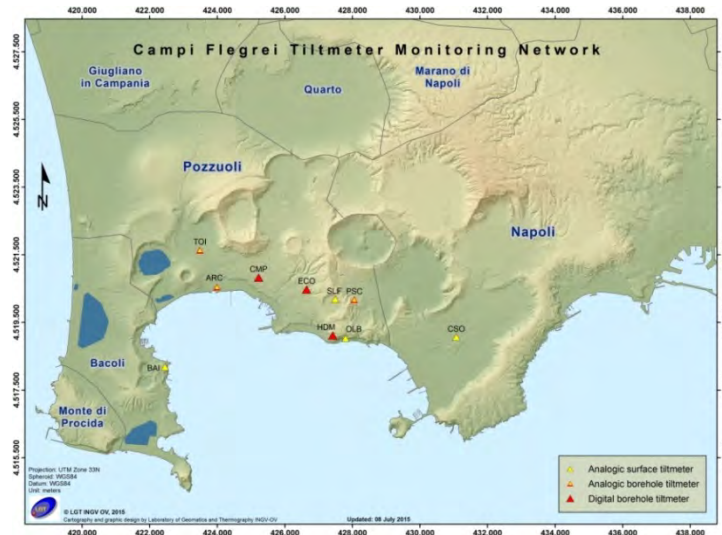
I dati nella serie temporale dal 2006 ad oggi (Figura 2.7), sono stati raccordati con i dati riferiti alla ex stazione NAPT (dismessa a febbraio 2016), potendoli considerare omogenei all'interno degli errori di misura.



**Figura 2.7** - Movimenti verticali del suolo, nel periodo gennaio 2006 – 31 agosto 2018, ottenuti dall'analisi dei dati acquisiti dal sensore digitale alla stazione mareografica di Pozzuoli Porto (POPT) (area centrale della caldera flegrea). Le variazioni riportate rappresentano le medie giornaliere e sono riferite alla stazione di Napoli molo S.Vincenzo (NAMM).

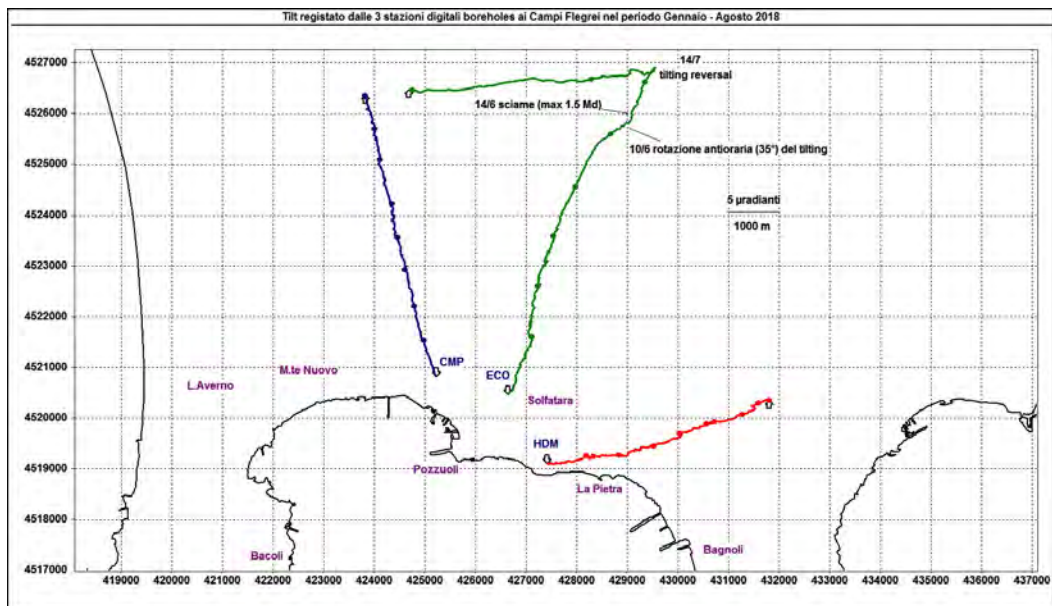
## Tiltmetria

La Rete di Monitoraggio delle inclinazioni del suolo dei Campi Flegrei consiste in 10 stazioni di cui 4 equipaggiate con sensori analogici di superficie (BAI, SLF, TOI, CSO), 3 con tiltmetri analogici da pozzo (PSC, ARC, TOI installati da 1 a 7 m di profondità) e 3 con sensori digitali da pozzo (CMP, ECO, HDM installati a 25 m di profondità) (Fig. 2.8).



**Figura 2.8** – Rete Tiltmetrica dei Campi Flegrei.

La variazione tiltmetrica osservata ai Campi Flegrei nel periodo gennaio-agosto 2018 segue fino al 13 luglio una simmetria radiale dovuta alla fase di uplift. Dal 14 luglio il pattern di deformazione appare modificarsi come mostrato dalla variazione osservata al tiltmetro ECO che mostra un'inclinazione verso W. Le altre 2 stazioni, invece, non risentono di tale forzante e si inclinano coerentemente al sollevamento del suolo così come osservato dai GPS. (Figura 2.8).



**Figura 2.8** - Pattern tiltmetrico osservato ai Campi Flegrei nel periodo gennaio-agosto 2018. Per chiarezza di rappresentazione grafica sono state selezionate solo le stazioni borehole con sensori ubicati a 25 m di profondità. Il lato di ogni maglia del reticolo equivale a 5  $\mu$ radianti o 1000 m. I pallini sovrapposti sui vettori tilt indicano l'inizio di ogni mese.

La deformazione relativa ad ogni sito-stazione è rappresentata con segmenti orientati di colore diverso; l'origine di ogni vettore tilt è siglata con il nome del sito stesso ed evidenziata con una freccia puntata verso il basso mentre l'estremo libero è indicato con una freccia puntata verso l'alto. Il verso di ogni vettore indica settori di crosta in abbassamento ed è univocamente definito dal suo estremo libero.

Nella Tabella seguente sono riportati, per le stazioni digitali, i valori di inclinazione del suolo, la direzione di tilting e la variazione di temperatura registrata a fondo pozzo ( $\approx -25$  m dal p.c.) acquisiti nel periodo gennaio-agosto 2018.

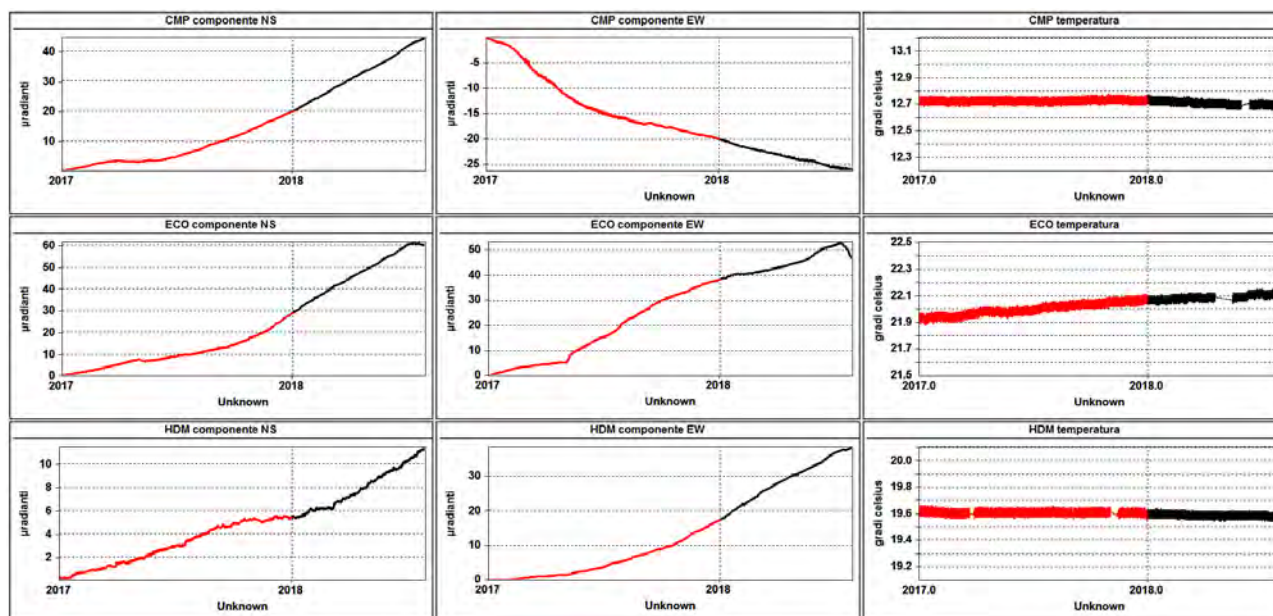
I segnali del tiltmetro HDM sono aggiornati all'11 Agosto per problemi tecnici.

| Sito                        | Inclinazione e direzione                         | Temperatura |
|-----------------------------|--|-------------|
| Stazione ECO (89 m s.l.m.)  | 31.5 $\mu$ radianti a NNW                        | 0.05 °C     |
| Stazione CMP (62 m s.l.m.)  | 28.6 $\mu$ radianti a NNW                        | -0.04 °C    |
| Stazione HDM (112 m s.l.m.) | 22.8 $\mu$ radianti a ENE<br>(fino al 11 agosto) | -0.02 °C    |

In Figura 2.9 sono riassunti gli andamenti delle componenti tiltmetriche (filtrate dalle periodicità giornaliere) e termica registrate da ognuna delle 3 stazioni borehole.

Per evidenziare la continuità dei segnali, il periodo di tempo rappresentato parte dal 1 gennaio 2017; poiché, inoltre, i segnali acquisiti rappresentano la variazione di tilt, sono stati tutti azzerati a partire da quella data.

Le componenti NS di CMP e HDM mostrano un trend di inclinazione verso N e quindi un sollevamento del suolo a S delle stesse, mentre quella di ECO inverte il suo andamento a partire dal 14 Luglio. La componente EW di ECO mostra una variazione a partire dal 14 Luglio, mentre la stessa componente di CMP e HDM mostra variazioni tiltmetriche coerenti con la simmetria radiale del campo deformativo caratterizzante l'attuale fase di unrest.



**Figura 2.9** – Serie temporali dei segnali registrati a partire dal 2017 dalle 3 stazioni “borehole” della rete flegrea, con sensori ubicati a 25 m di profondità, ordinate dal basso verso l’alto secondo la latitudine. Le prime 2 colonne riportano le componenti NS ed EW in  $\mu$ radianti i cui valori di tilt crescenti nel tempo indicano rispettivamente la variazione di inclinazione del suolo a N e ad E, mentre la terza colonna riporta la temperatura in °C registrata da ogni sensore. In rosso sono riportati i segnali relativi al 2017 mentre in nero sono rappresentati quelli registrati nel 2018.

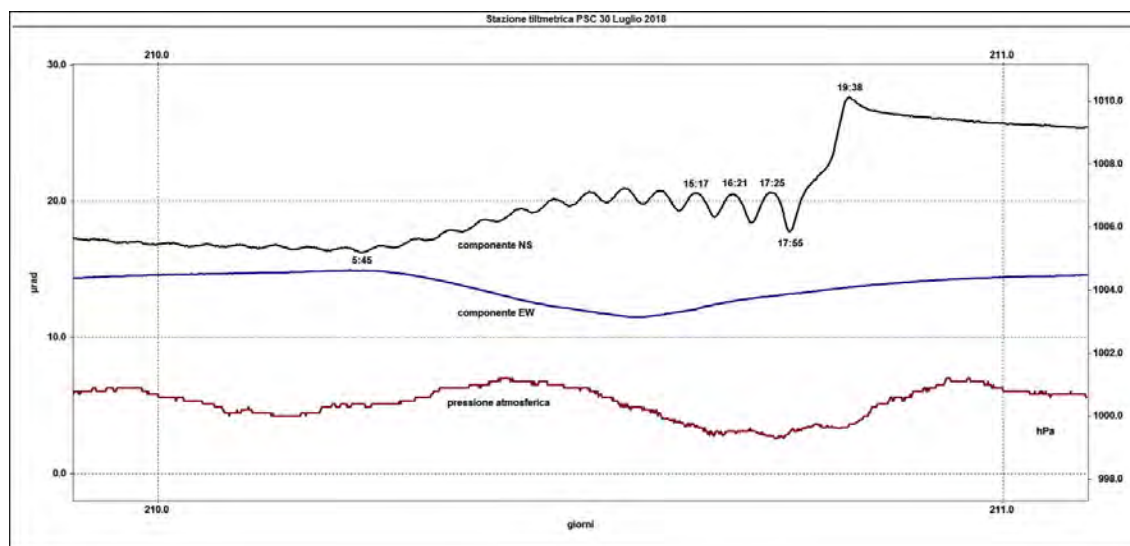
Come presentato nella grafica, è evidente il cambiamento dello stile di deformazione ad ECO mentre le piccole variazioni osservate, qualche giorno dopo, alle altre 2 stazioni flegree (come riferito nel Bollettino di Sorveglianza relativo al mese di luglio 2018) rientrano successivamente nella normalità.

Il tasso medio mensile del tilt diminuisce ovviamente ad ECO con  $4.1 \mu\text{radianti}$  ( $S_{YX}=3.4$ ) ma rimane stabile a CMP con un valore uguale a  $3.7$  ( $S_{YX}=0.4$ ).

Il valore consistente di  $S_{YX}$  ( $3.4$ ) ad ECO, confrontato con quello calcolato dal modello (4.1), dimostra la non linearità della deformazione osservata a questa stazione.

Inoltre, la presenza di una oscillazione a bassissima frequenza nel range  $40\div 70$  minuti (non correlata a riconosciute attività antropiche di disturbo), osservata in concomitanza del “tilting reversal” del 14 Luglio e già segnalata nel Bollettino precedente, ha caratterizzato la componente NS del tiltmetro di Pisciarelli (PSC) fino al 30 dello stesso mese.

In tale data è stata osservata un'altra oscillazione monocromatica (la IX dal maggio 2017) caratterizzata da un periodo di 65 minuti e da un'ampiezza crescente, iniziata alle 5:45, culminata alle 17:25 e seguita da una deriva verso N terminata alle 19:38, dopodiché la modulazione a bassissima frequenza osservata 17 giorni prima è scomparsa (Figura 2.10).

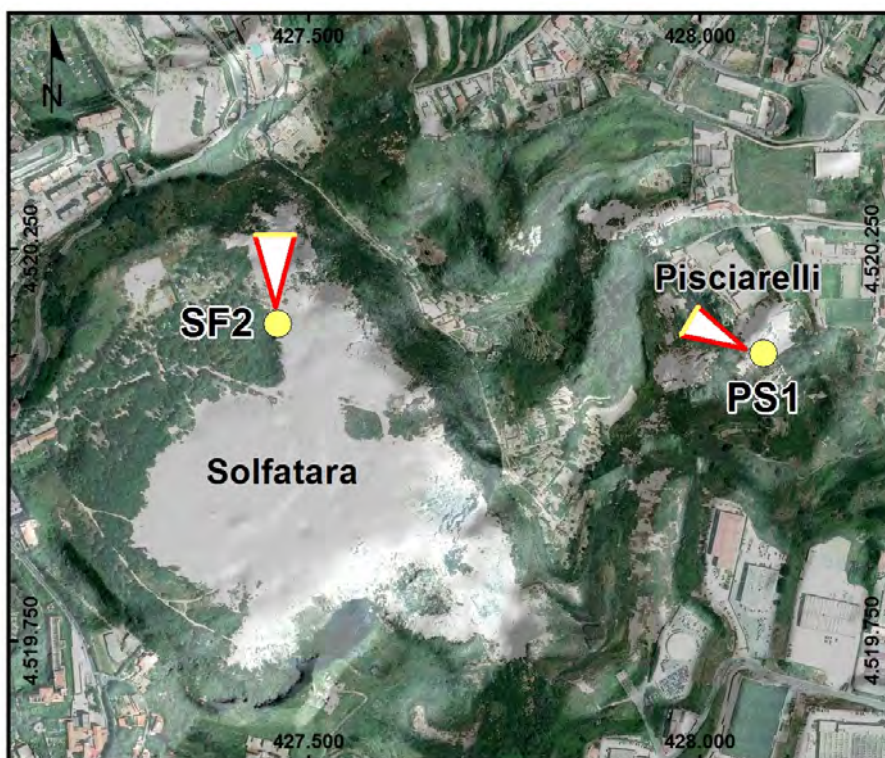


**Figura 2.10** - Oscillazione registrata a PSC il 30 luglio e conclusasi con una deriva a N non rientrata; da notare la presenza sulla componente NS di una modulazione caratterizzata da un periodo di 65 minuti e da un'ampiezza crescente.

Alla luce di quanto osservato ed in considerazione del fatto che anche il 22 luglio le 2 stazioni ECO e PSC avevano mostrato contemporaneamente un'ulteriore variazione tiltmetrica (vedi Bollettino di Sorveglianza relativo al mese di luglio 2018), la cospicua anomalia in azimuth rilevata ad ECO è probabilmente da mettere in relazione con l'attività idrotermale dell'area di Pisciarelli, situata 150 m a SE del tiltmetro PSC, che modula la deformazione del suolo dovuta all'unrest (rilevata a PSC) ed interferisce con quella normalmente registrata ad ECO.

### 3. MONITORAGGIO TERMICO AD IMMAGINE

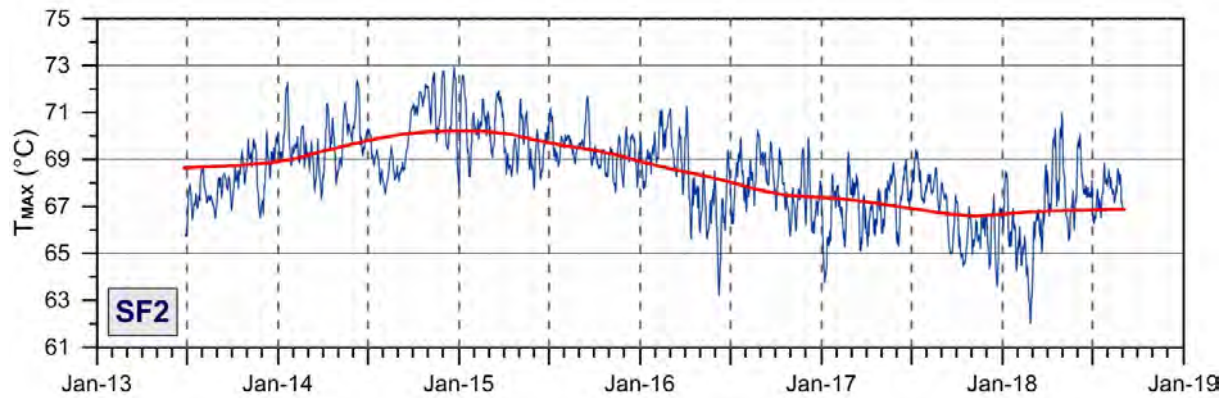
La stazione SF2 della Rete Permanente di Monitoraggio Termico dei Campi Flegrei acquisisce immagini all'infrarosso termico del settore settentrionale del versante interno del cratere della Solfatara, mentre la stazione PS1 acquisisce immagini all'infrarosso termico della parte alta del versante ad ovest della fumarola principale in località Pisciarelli (Fig. 3.1; Silvestri et al., 2017; Vilardo et al., 2015).



**Figura 3.1** - Stazione SF2 e PS1. Punto giallo: posizione della stazione; base del triangolo: area campionata.

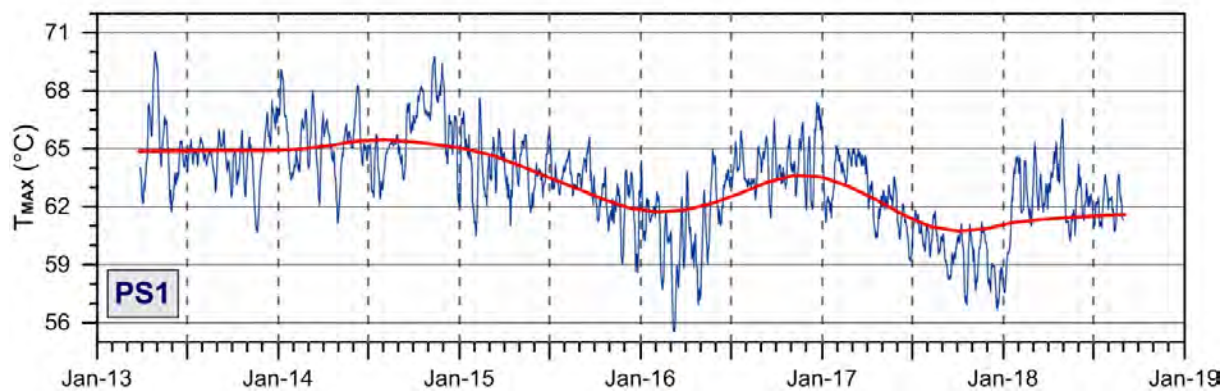
Le figure 3.2 e 3.3 mostrano l'elaborazione delle rispettive serie temporali dei valori di temperatura massima delle immagini IR processati in tempo reale con l'algoritmo di destagionalizzazione analitica STL (Seasonal Trend Decomposition) implementato nel software A.S.I.R.A. (Automated System for IR Analysis). Tale procedura, largamente utilizzata nell'elaborazione statistica di serie temporali, ha una elevata affidabilità ed il vantaggio di restituire il trend in termini di valori di temperatura osservati anziché di valori residui.

L'andamento delle temperature massime rilevate dalla stazione SF2 mostra, dall'inizio del 2015, un trend in lieve e costante diminuzione seppur in presenza di ampie oscillazioni a corto periodo (Fig. 3.2). Dopo aver raggiunto nel mese di febbraio 2018 il valore minimo degli ultimi 5 anni, le temperature massime hanno mostrato un trend in sensibile aumento nei mesi di marzo e di aprile 2018. Dal mese di luglio 2018 si osserva un andamento dei valori di temperatura sostanzialmente stabile, se paragonato a quanto osservato nei mesi immediatamente precedenti.



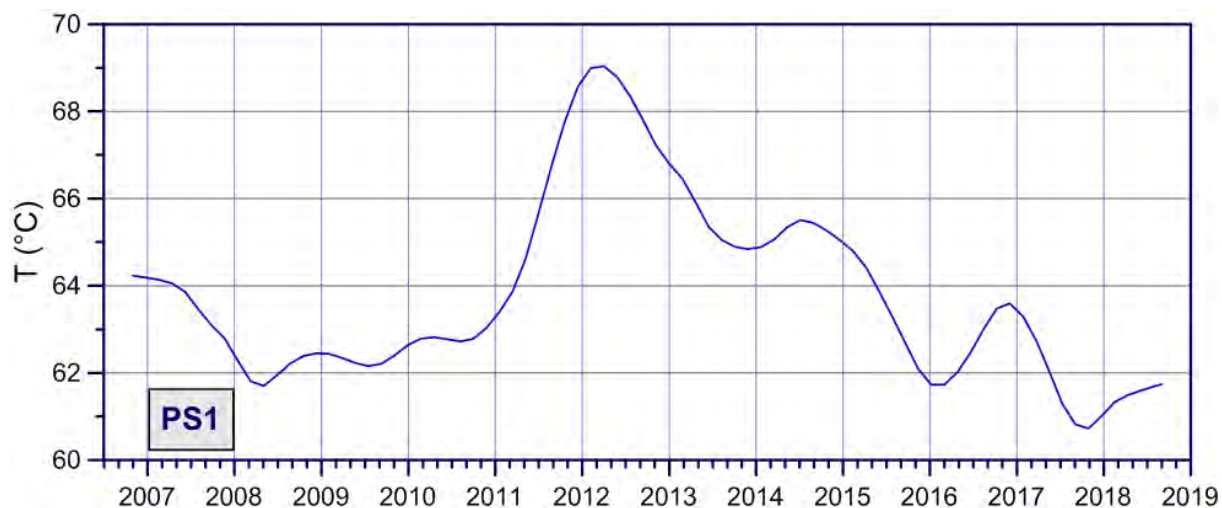
**Figura 3.2** - Stazione SF2. Serie temporali delle medie settimanali (blu) e del trend a lungo termine (rosso) dei valori di temperatura massima rilevati nell'immagine IR destagionalizzata mediante applicazione dell'algoritmo STL.

L'andamento delle temperature massime rilevate dalla stazione PS1 (Fig. 3.3), dopo una costante diminuzione nel 2017 fino al raggiungimento dei valori tra i più bassi degli ultimi 5 anni, ha presentato un significativo aumento nei mesi da gennaio ad aprile 2018. Dal mese di luglio, così come osservato per la stazione SF2, si osserva un andamento dei valori di temperatura sostanzialmente stabile.



**Figura 3.3** - Stazione PS1. Serie temporali delle medie settimanali (blu) e del trend a lungo termine (rosso) dei valori di temperatura massima rilevati nell'immagine IR destagionalizzata mediante applicazione dell'algoritmo STL.

In Figura 3.4 è mostrato il trend a lungo termine (ottobre 2007 - agosto 2018) delle variazioni delle temperature massime superficiali rilevate dalla stazione PS1 ottenuto mediante applicazione dell'algoritmo STL.



**Figura 3.4** - Stazione PS1: Stazione Pisciarelli. Trend a lungo termine dei valori di temperatura massima rilevati nell'immagine IR ottenuto mediante applicazione dell'algoritmo STL.

La Figura 3.4 evidenzia, dopo il raggiungimento del picco massimo dei valori nella prima metà del 2012, il verificarsi di un trend in costante diminuzione, seppure in presenza di oscillazioni a lungo periodo. I valori minimi si sono osservati nella seconda metà del 2017, dopodiché, negli ultimi mesi, l'andamento del trend a lungo termine della temperatura superficiale dell'area target mostra un lieve incremento.

#### 4. GEOCHIMICA DEI FLUIDI

L'attività di monitoraggio svolta nel mese di agosto 2018 ha riguardato:

- l'acquisizione in continuo del flusso di CO<sub>2</sub> dal suolo (stazioni FLXOV5 e FLXOV1), della temperatura della fumarola BG e del gradiente termico nel cratere della Solfatara;
- l'acquisizione in continuo di dati di flusso di CO<sub>2</sub> dal suolo e della temperatura della fumarola tramite la stazione automatica FLXOV3 installata a Pisciarelli;
- il campionamento delle fumarole principali Bocca Grande e Bocca Nuova nel cratere della Solfatara;
- misure di flusso di CO<sub>2</sub> dal suolo e temperatura del suolo su punti fissi selezionati nell'area della Solfatara.

Di seguito vengono riportate le osservazioni più rilevanti sui nuovi dati acquisiti.

Una dettagliata descrizione del modello geochimico interpretativo del sistema idrotermale della Solfatara, delle variazioni composizionali registrate e delle possibili interpretazioni sono riportate nei seguenti lavori scientifici: Caliro et al., (2007; 2014); Chiodini (2009); Chiodini et al., (2010; 2011; 2012; 2015a,b; 2016), ai quali si rimanda per approfondimento.

Le analisi di laboratorio dei campioni prelevati evidenziano il perdurare dei trend già identificati in precedenza (vedi Bollettini di Sorveglianza precedenti; Figg. 4.1-4.4).

Il rapporto  $\text{CO}_2/\text{H}_2\text{O}$  delle fumarole (Fig. 4.1) nei campioni di agosto è rimasto su valori elevati ( $\sim 0.38$  per la fumarola BG e  $\sim 0.36$  per la fumarola BN) che in generale testimoniano una elevata frazione di gas magmatici presente nei fluidi fumarolici (Caliro et al., 2007; Chiodini et al., 2010). In particolare, l'interpretazione di queste variazioni risulta più complessa alla luce dei recenti studi che mettono in evidenza come possibili processi di condensazione del vapore nel sistema idrotermale, in risposta ad un aumento del flusso dei fluidi magmatici (e della pressione) e allo stato termico del sistema, possano influenzare il rapporto  $\text{CO}_2/\text{H}_2\text{O}$  misurato alle fumarole (Chiodini et al., 2015a; 2016). Inoltre è possibile che una frazione della  $\text{CO}_2$  emessa dalle fumarole sia prodotta, in seguito all'aumento di temperatura del sistema, da reazioni che coinvolgono la calcite di origine idrotermale presente nel sistema (Chiodini et al., 2015b).

L'analisi di geoindicatori di Temperatura e Pressione, basati sulle composizioni delle fumarole BG e BN, indicano il progressivo riscaldamento delle parti più superficiali del sistema idrotermale della Solfatara. In particolare, le concentrazioni di monossido di carbonio (CO), disponibili alla Solfatara di Pozzuoli fin dalla crisi del 1983-84, a partire dagli inizi degli anni 2000 mostrano un evidente trend di crescita, che dopo il periodo di rallentamento evidenziato negli ultimi mesi, sembra aver ripreso la tendenza originale (fumarola BG, Fig. 4.2). Tale crescita è rilevante poiché il CO è fra le specie fumaroliche analizzate quella più sensibile alla temperatura. Assumendo come buffer delle condizioni redox del sistema idrotermale la funzione di D'Amore and Panichi (1980), che in generale ben descrive la  $f\text{O}_2$  in molti dei sistemi idrotermali del mondo, il trend del CO corrisponderebbe ad un aumento di temperatura di 20-25 °C fra gli inizi degli anni 2000 (T circa 215 °C) e il 2018 (T circa 240 °C, Fig. 4.3). Tale processo di riscaldamento del sistema flegreo e le possibili cause sono trattate in modo approfondito nei lavori scientifici Chiodini et al. (2015a; 2016) a cui si rimanda per approfondimento.

Il cronogramma del rapporto  $\text{CO}_2/\text{CH}_4$  (Fig. 4.4) mostra picchi positivi, interpretati come dovuti all'arrivo di fluidi magmatici ossidanti e a basso contenuto in  $\text{CH}_4$ , nel sistema idrotermale (Chiodini 2009; Chiodini et al., 2010; 2011; 2012). Nei campioni di agosto, il rapporto  $\text{CO}_2/\text{CH}_4$  è rimasto pressoché costante rispetto al periodo precedente suggerendo la fine di un picco che ha raggiunto i valori massimi nei periodi precedenti. I vari picchi corrisponderebbero, quindi, ad eventi di degassamento magmatico, occorsi in precedenza, e con conseguente immissione di fluidi magmatici nel sistema idrotermale che alimenta le fumarole della Solfatara. Per maggiori dettagli su tale processo si rimanda a specifici lavori scientifici (Chiodini et al., 2012; 2016). Inoltre, in Figura 4.4, è possibile riconoscere un trend d'aumento del rapporto a partire dal 2000. Sia l'aumento della temperatura di equilibrio della parte più profonda del sistema idrotermale che variazioni delle sue condizioni redox (verso condizioni più ossidanti, magmatiche) possono essere la causa dell'aumento del rapporto  $\text{CO}_2/\text{CH}_4$  (i.e. diminuzione relativa delle concentrazioni di  $\text{CH}_4$ ) (Chiodini et al., 2015a).

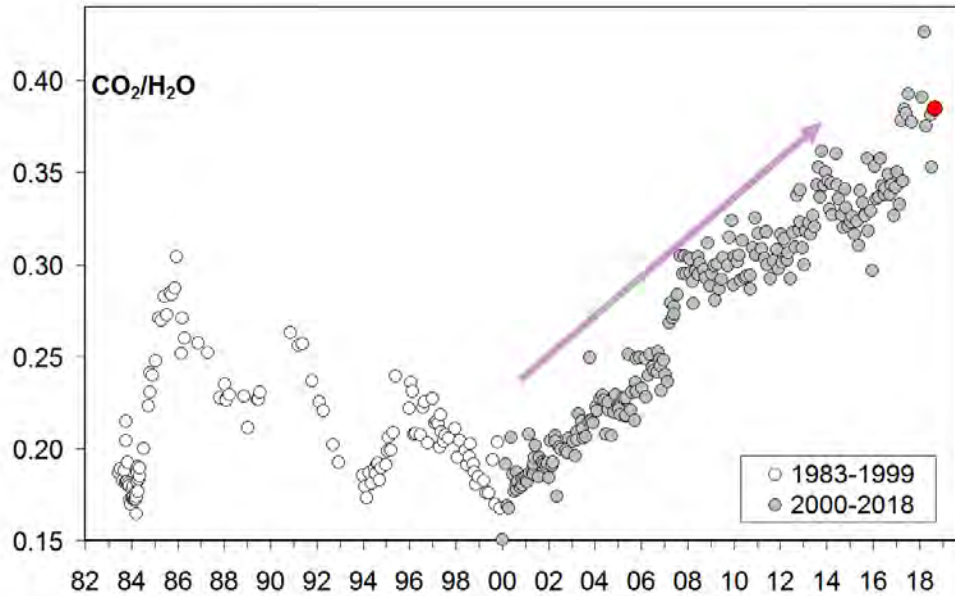
Il processo di riscaldamento e pressurizzazione del sistema idrotermale è supportato dalle misure periodiche, su punti fissi nel cratere della Solfatara, del flusso di  $\text{CO}_2$  dal suolo e della temperatura del suolo che mostrano trend di aumento pluriennali (Fig. 4.5). In particolare, i valori di flusso di  $\text{CO}_2$  dal suolo relativi alle campagne mensili di misura mostrano un andamento caratterizzato da

una periodicità annuale, rientrando in un trend di aumento dei valori a partire dal 2006 (Fig. 4.6). Analogamente, la media delle temperature del suolo, misurate a 10 cm di profondità, mostra un chiaro andamento stagionale sovrapposto ad un trend d'aumento della temperatura (Fig. 4.7), con un incremento del valore medio delle temperature misurate di oltre 5 °C nel periodo 2002-2018. Nella mappa di Figura 4.8a è riportato l'incremento di temperatura espresso in °C/anno calcolato per ogni punto di misura a partire dal 2002. L'incremento di temperatura interessa diffusamente tutta l'area craterica con un massimo nella zona centrale; naturalmente, l'incremento di temperatura non interessa le aree delle fumarole e del bordo del cratere a NE dove le temperature sono vicine al limite fisico di condensazione per i fluidi emessi dalla Solfatara (~95°C, Fig. 4.8b).

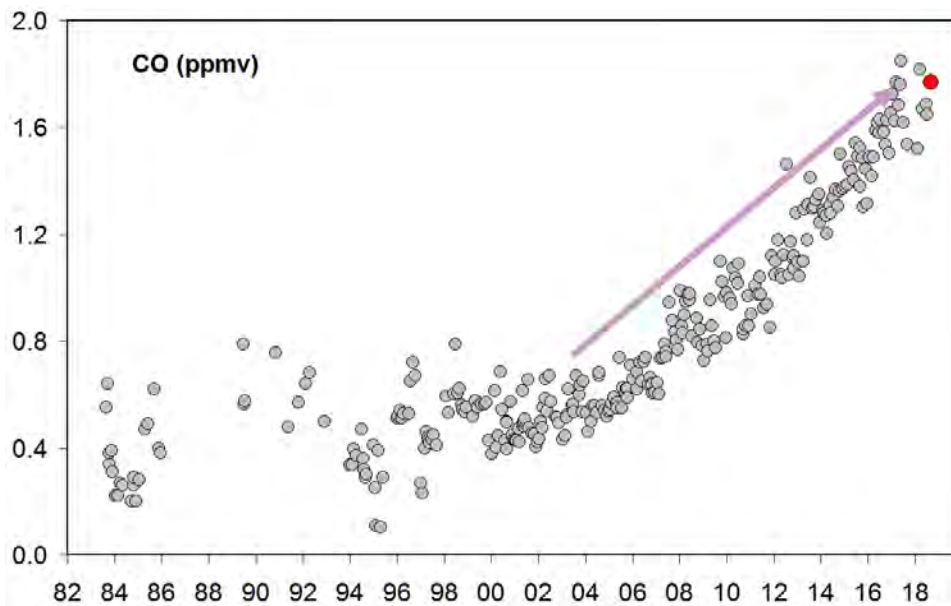
La stazione multiparametrica FLXOV5, installata nel cratere della Solfatara a pochi metri dalla fumarola ha misurato un significativo aumento del flusso di CO<sub>2</sub> dal suolo, a partire dal febbraio 2016 (Fig. 4.9). Tale aumento del flusso di CO<sub>2</sub> è da mettere in relazione all'evidente processo di fumarolizzazione che interessa l'intera area.

Il processo di riscaldamento e pressurizzazione della parte più superficiale del sistema idrotermale, iniziato a partire dal 2007 (Chiodini et al., 2011) e tuttora in corso, causa a nostro avviso le variazioni macroscopiche osservate a Pisciarelli (Fig 4.10) e che negli ultimi anni sono consistite nell'apertura di nuovi vent fumarolici e di polle bollenti, nell'emissione di fango, in attività sismica localizzata, nell'aumento della temperatura della fumarola principale (Fig 4.11) e nell'aumento dei flussi misurati in continuo dalla stazione FLXOV3 (Fig 4.12).

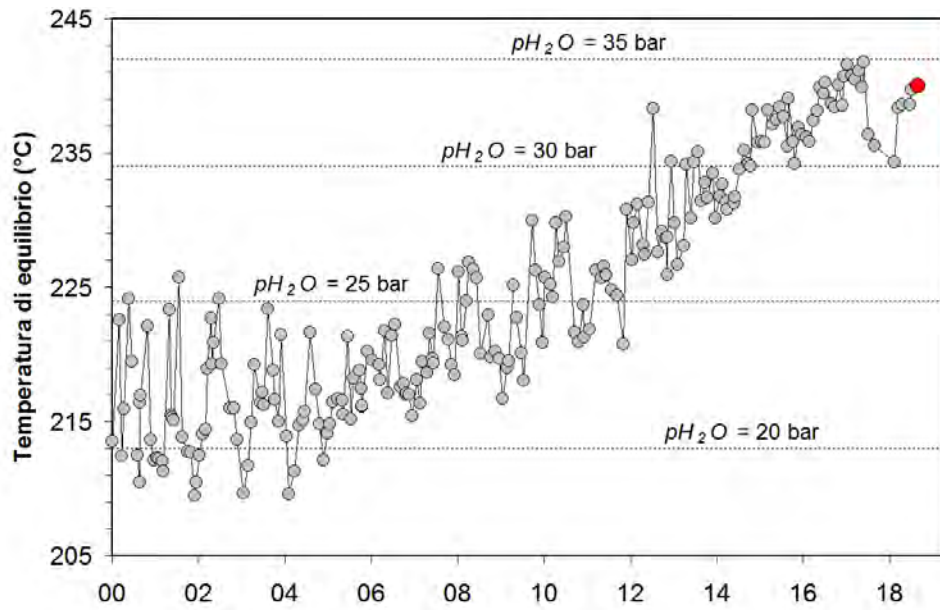
La temperatura della fumarola principale di Pisciarelli, a causa del malfunzionamento della stazione FLXOV3, è stata acquisita in remoto con un sistema differente. Nel periodo di interesse la temperatura della fumarola ha mostrato un valore medio di circa 114 °C (Fig. 4.13). Poiché la fumarola è un sistema naturale in continua evoluzione, con variazioni macroscopiche del sito di emissione, la temperatura registrata potrebbe non sempre coincidere con la temperatura massima. L'ambiente aggressivo a cui è stata sottoposta la stazione per oltre dieci anni ha danneggiato irrimediabilmente l'elettronica. L'acquisitore dovrà essere sostituito con una nuova stazione multiparametrica denominata "GEMMA", sviluppata e realizzata nell'ambito delle attività di ricerca tecnologica dell'Osservatorio Vesuviano, per l'acquisizione di parametri geochimici e ambientali correlati.



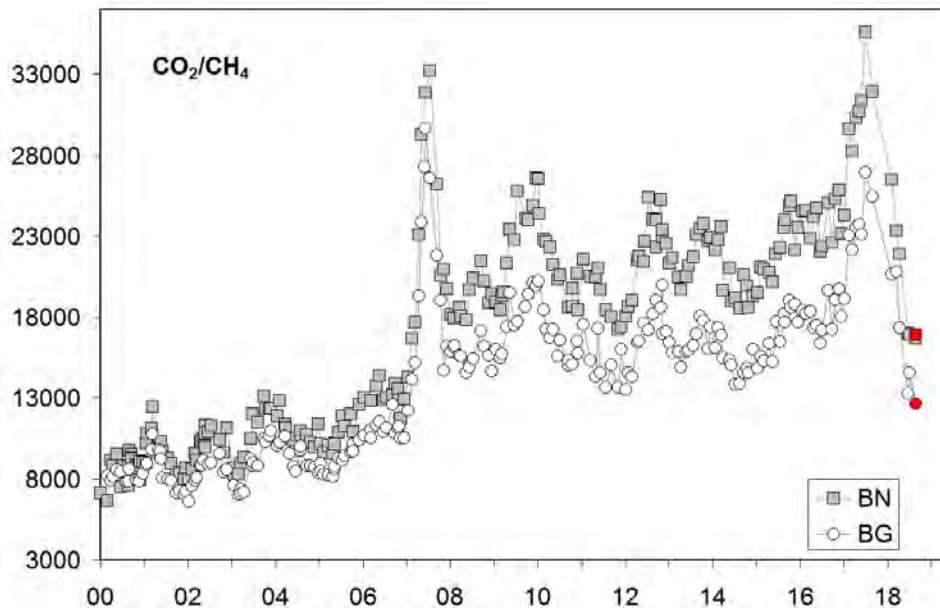
**Figura 4.1** - Cronogramma del rapporto  $CO_2/H_2O$  per la fumarola BG. In grigio sono riportati i dati a partire dal 2000, quando è iniziato un trend d'aumento del rapporto  $CO_2/H_2O$ , in generale, indicativo di una crescente frazione della componente magmatica nei fluidi fumarolici. Con il simbolo rosso è evidenziato il campione di agosto 2018.



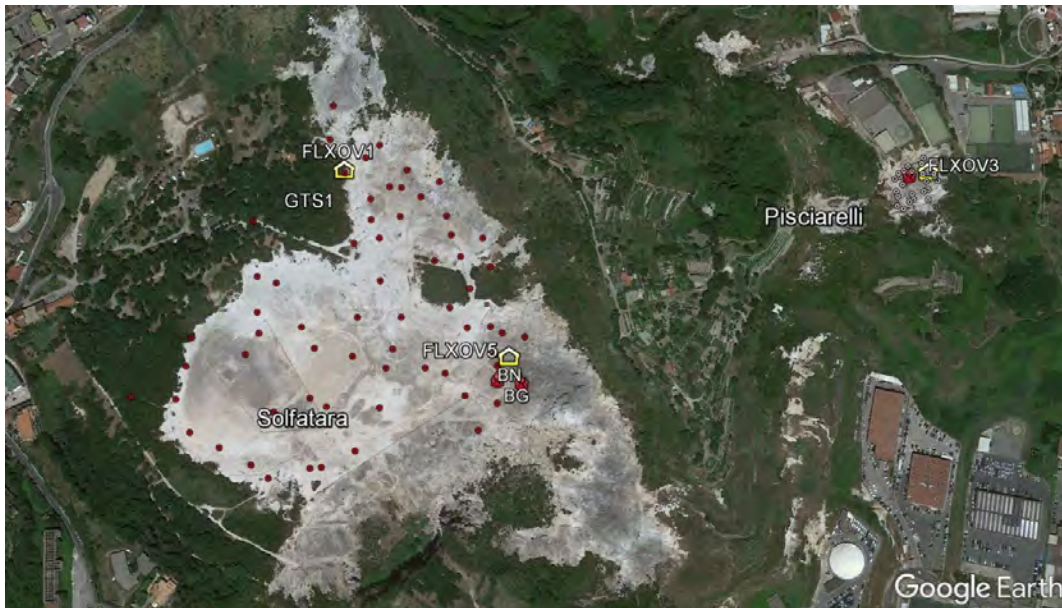
**Figura 4.2** – Variazioni della concentrazione di monossido di carbonio (CO) misurato alla fumarola BG a partire dal 1983. Con il simbolo rosso è evidenziato il campione di agosto 2018. In generale alti contenuti di CO caratterizzano sistemi vulcanici ad elevata temperatura mentre fumarole alimentate da sistemi idrotermali mostrano concentrazioni più basse, in tali sistemi un aumento delle concentrazioni di CO può riflettere un incremento delle condizioni di pressione e temperatura.



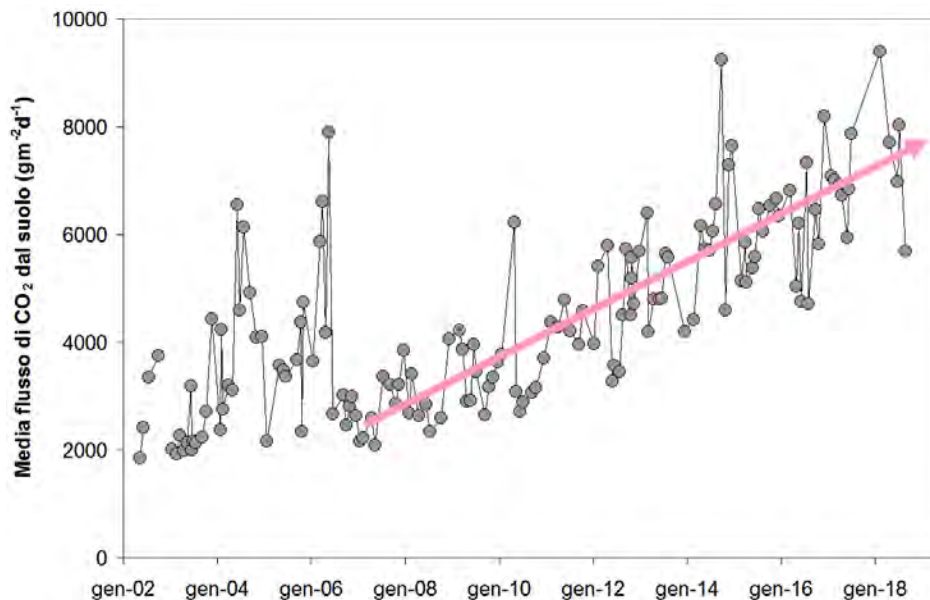
**Figura 4.3** – Cronogramma delle temperature di equilibrio per il sistema  $\text{CO-CO}_2$ , stimate assumendo condizioni redox fissate dalla relazione di D'Amore and Panichi (1980). Tali temperature, rappresentative della parte più superficiale del sistema idrotermale (Caliro et al., 2007), mostrano un trend d'aumento a partire dai primi anni del 2000. Con il simbolo rosso è evidenziato il campione di agosto 2018 relativo alla fumarola BG.



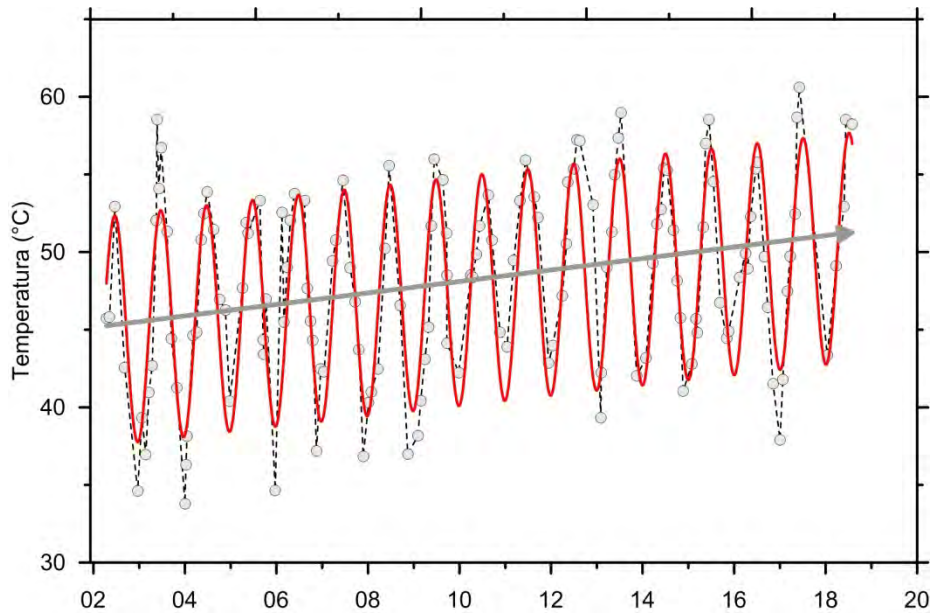
**Figura 4.4** – Variazioni del rapporto  $\text{CO}_2/\text{CH}_4$  per le fumarole BG e BN a partire dal 2000. I picchi nel rapporto, registrati in superficie con circa un anno di ritardo, evidenziano episodi di degassamento magmatico occorsi ai Campi Flegrei (Chiodini et al., 2012). Con i simboli rossi sono evidenziati i campioni di agosto 2018.



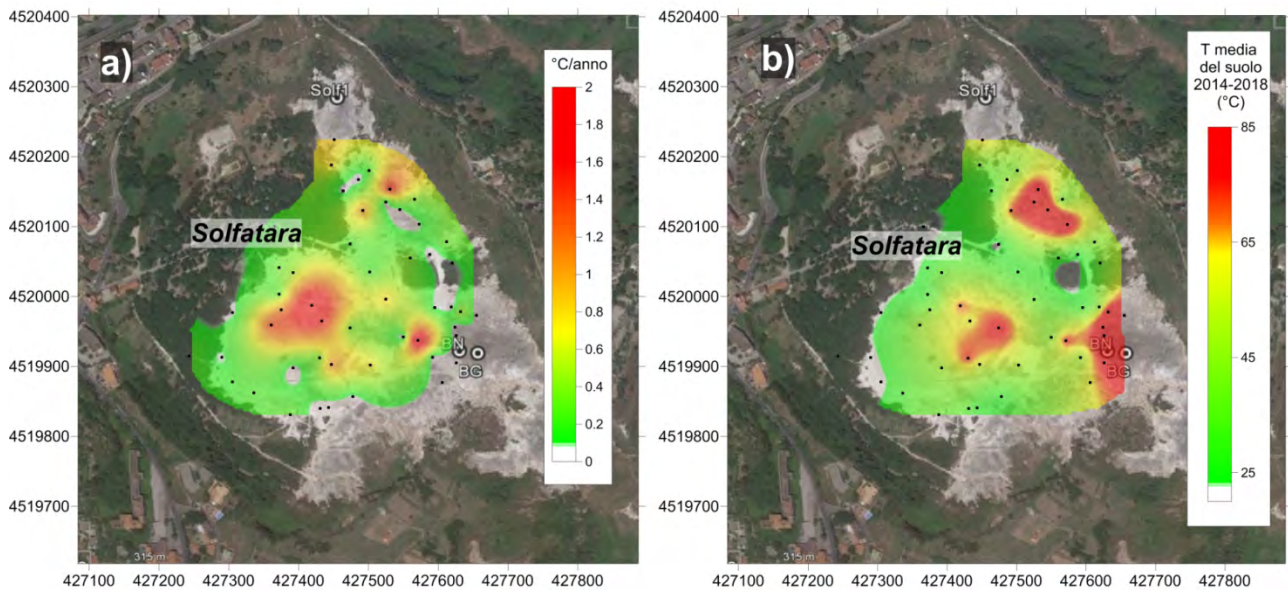
**Figura 4.5** - Ubicazione delle stazioni della rete geochimica ai Campi Flegrei e dei siti dove sono eseguite le attività di monitoraggio geochimico. In particolare sono riportate le quattro stazioni geochimiche ubicate in area Solfatara-Pisciarelli, le principali fumarole della Solfatara (BG e BN) e di Pisciarelli, sono inoltre riportati i punti fissi per la misura del flusso di CO<sub>2</sub> dal suolo e della temperatura del suolo in area Solfatara (simboli rossi) e in area Pisciarelli (simboli bianchi).



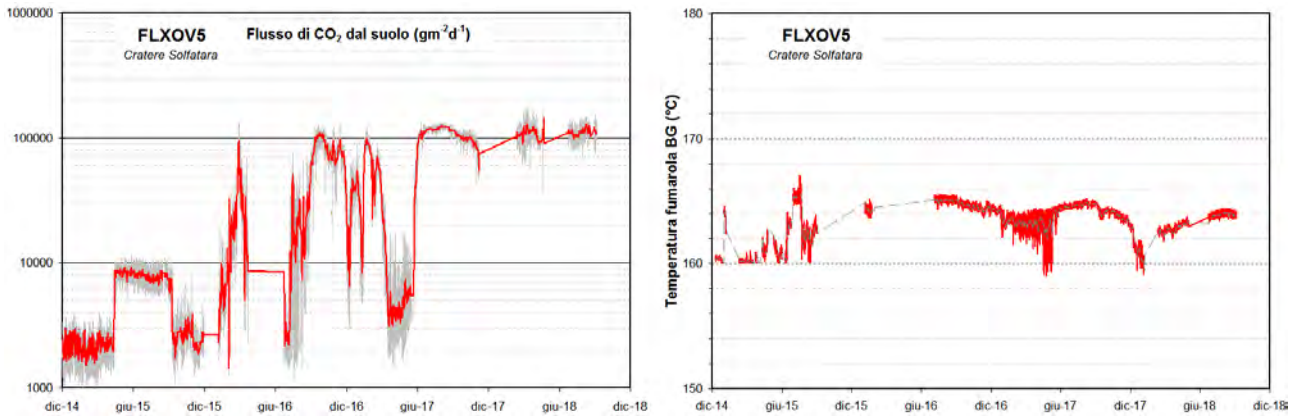
**Figura 4.6** - Cronogramma della media dei flussi di CO<sub>2</sub> dal suolo misurati mensilmente su 61 punti fissi nell'area craterica della Solfatara.



**Figura 4.7** – Cronogramma della media delle temperature del suolo (a 10 cm di profondità) misurate su 61 punti fissi nell’area craterica della Solfatara. Va evidenziato l’incremento del valore medio nel periodo 2002-2018 di oltre 5 °C.



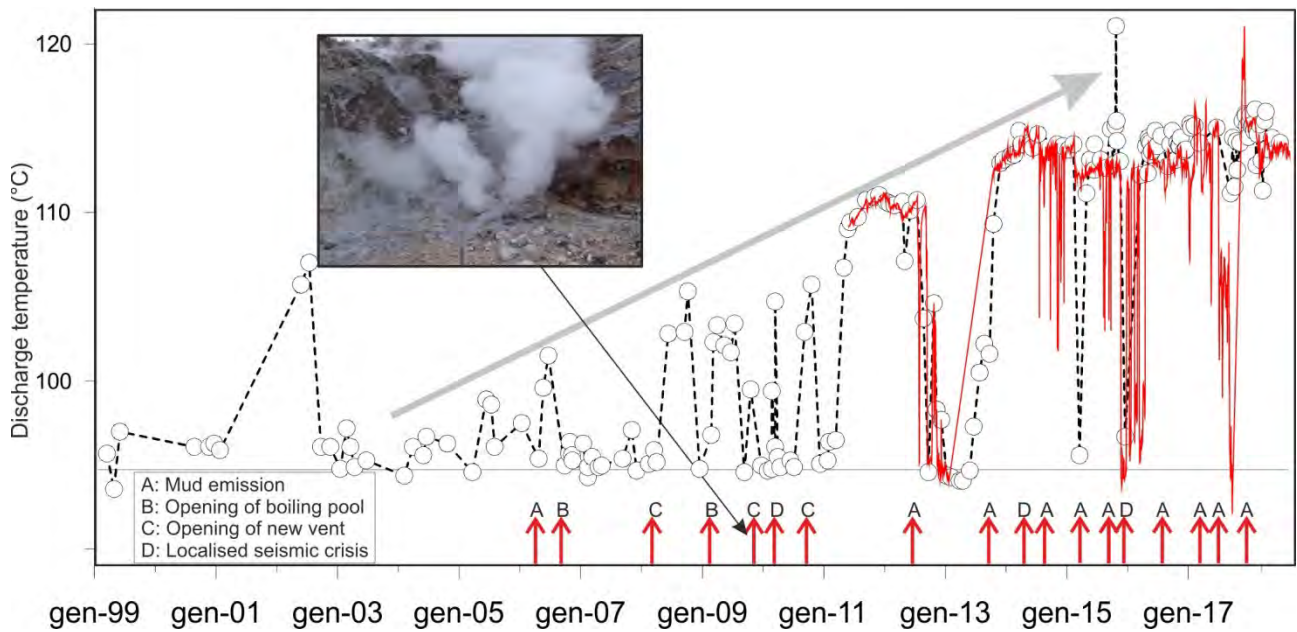
**Figura 4.8** - a) Mappa dell’incremento di temperatura in °C/anno calcolato per ogni punto misurato a partire dal 2002. L’incremento di temperatura interessa diffusamente tutta l’area craterica con un massimo nella zona centrale. L’incremento di temperatura non interessa le aree delle fumarole e del bordo del cratere a NE dove le temperature sono vicine al limite fisico di condensazione per i fluidi emessi dalla Solfatara (~95°C). b) mappa delle temperature dei punti misurati (media dal 2014 al 2018).



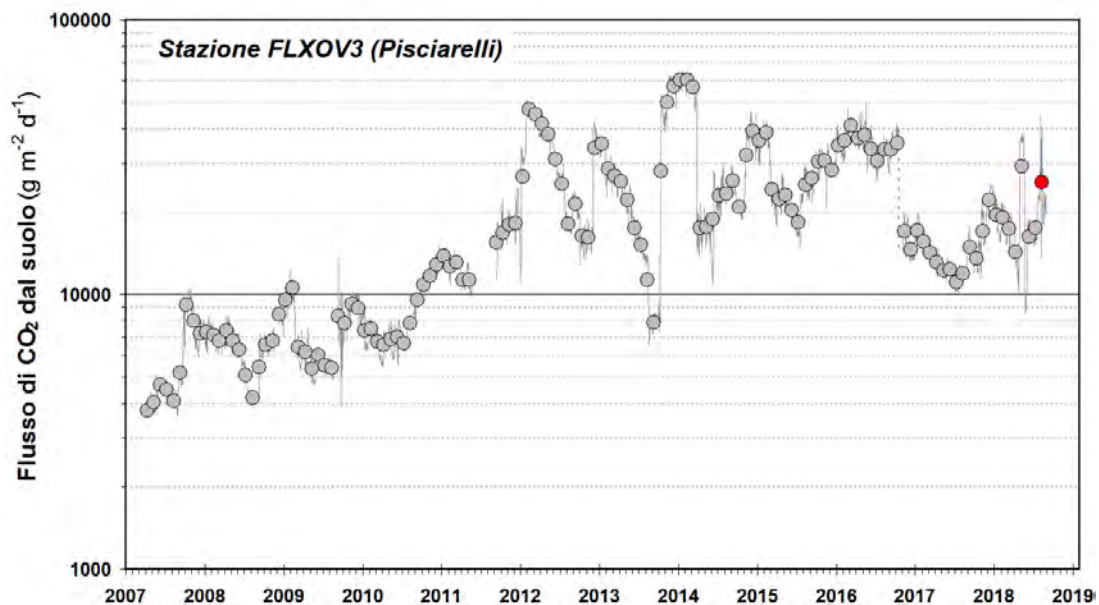
**Figura 4.9** - Valori del flusso di CO<sub>2</sub> dal suolo e della temperatura della fumarola BG misurati dalla stazione FLXOV5 installata nel cratere della Solfatara a pochi metri dalla fumarola principale BG. I valori di flusso di CO<sub>2</sub> dal suolo mostrano, in generale, un significativo incremento a partire dal 2015 (la linea rossa si riferisce alle medie giornaliere).



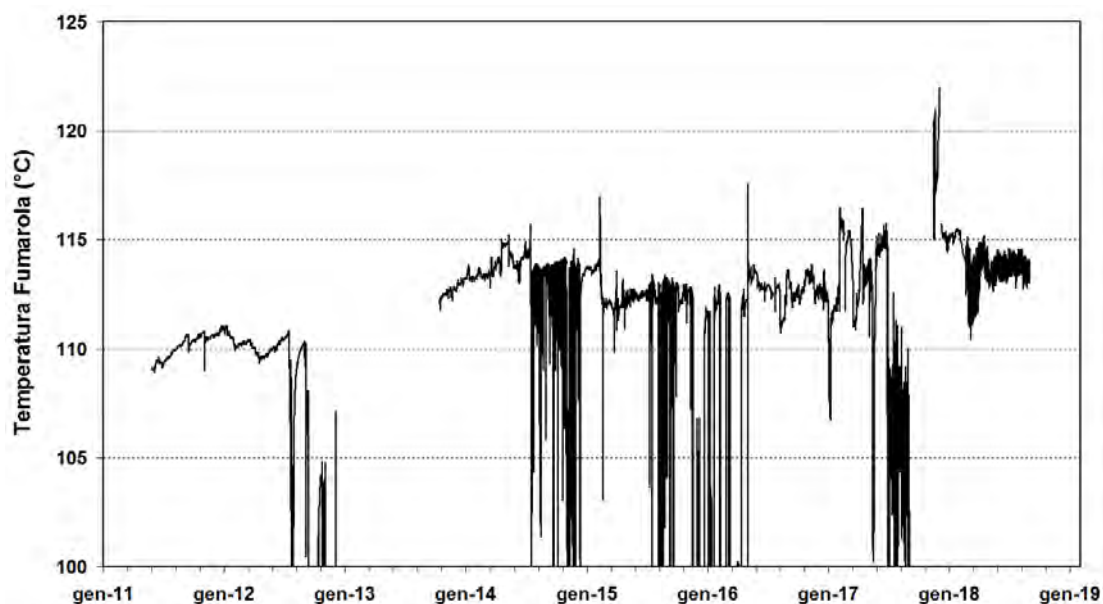
**Figura 4.10** - Variazioni macroscopiche dell'area di emissione di Pisciarelli dal 2005.



**Figura 4.11** - Cronogramma delle temperature (°C) della fumarola di Pisciarelli e dei maggiori eventi occorsi legati all'aumento dell'attività idrotermale (i cerchi si riferiscono a misure discrete riferite al punto di maggior flusso dei gas, la linea rossa si riferisce alle medie giornaliere delle misure in continuo). La temperatura di ~95°C rappresenta la temperatura di ebollizione per i fluidi fumarolici di Pisciarelli. Nella foto è riportata la nuova vigorosa fumarola sorta il 20 dicembre 2009.



**Figura 4.12** - Medie giornaliere (linea) e medie mensili (cerchi) dei flussi di CO<sub>2</sub> misurati a Pisciarelli (FLXOV3). E' da evidenziare il continuo trend d'aumento nel tempo a partire dal 2007 del flusso CO<sub>2</sub>. La media dei flussi relativa al mese di agosto 2018 è riportata con il simbolo rosso. L'intervento di riparazione della stazione, effettuato nel mese di novembre 2016, resosi necessario per ripristinare il sistema per la misura del flusso di CO<sub>2</sub> dal suolo, ha comportato una modifica permanente del sito con valori misurati di flusso di CO<sub>2</sub> più bassi.



**Figura 4.13** - Cronogramma delle temperature della fumarola di Pisciarelli registrate in continuo dal 2011.

## 5. QUADRO DI SINTESI DELLO STATO DEL VULCANO NEL MESE DI AGOSTO 2018 E VALUTAZIONI

1) **SISMOLOGIA:** Nel corso del mese di agosto 2018 sono stati registrati 29 terremoti ( $M_{dmax}=0.5$ ) prevalentemente localizzati nell'area della Solfatara.

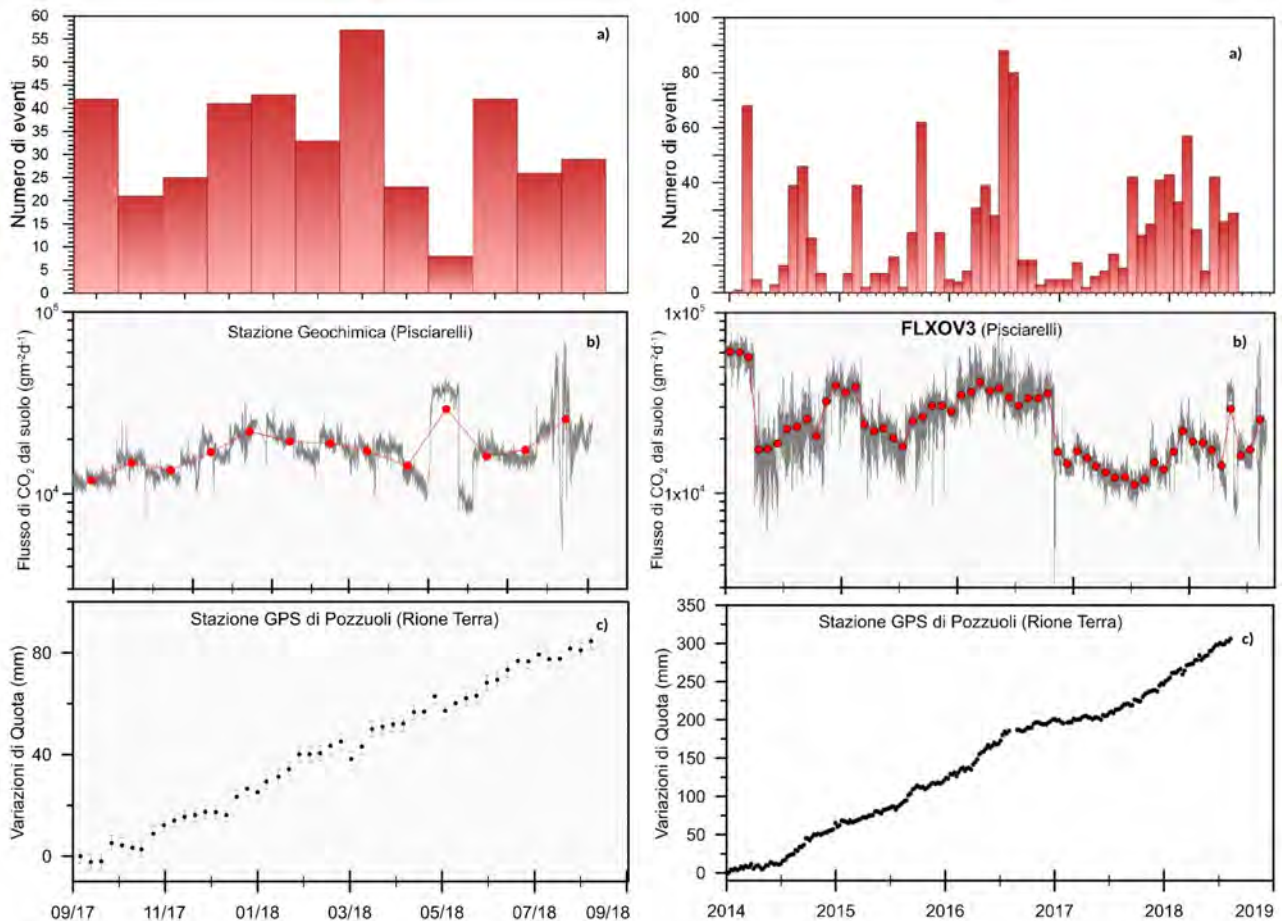
2) **DEFORMAZIONI:** L'analisi dei trend delle serie temporali GPS da luglio 2017 ha evidenziato che l'area flegrea è interessata da un sollevamento medio di circa 0.7 cm/mese. Il sollevamento registrato alla stazione GPS di RITE è di circa 29.5 cm a partire da gennaio 2014.

L'orientazione dei vettori tilt a partire dalla fine di settembre 2017 concorda con un uplift radiale centrato nell'area della città di Pozzuoli ma con una maggiore inclinazione del suolo in direzione NNE. A partire dalla metà di luglio si osserva un'inversione del tilt alla stazione ECO.

3) **TERMOGRAFIA:** L'analisi delle serie temporali delle aree campionate della Solfatara e Pisciarelli, seppur in presenza di ampie oscillazioni a breve periodo, mostra nel mese di agosto un andamento dei valori di temperatura sostanzialmente stabile.

4) **GEOCHIMICA:** Il flusso di  $CO_2$  dal suolo continua a mostrare valori elevati in coerenza con quelli registrati nei periodi precedenti. Nel periodo di interesse la temperatura della fumarola FLXOV3 di Pisciarelli ha mostrato un valore medio di circa 114 °C.

Nella Figura 5.1 sono rappresentati i parametri di monitoraggio più indicativi in un confronto temporale a breve e medio termine.



**Figura 5.1** – Frequenza di accadimento degli eventi sismici (a), variazioni del flusso di CO<sub>2</sub> alla stazione FLXOV3 di Pisciarelli (b) e andamento delle deformazioni del suolo alla stazione GPS di RITE negli ultimi dodici mesi (a sinistra) e dal 2014 (a destra).

Sulla base dell'attuale quadro dell'attività vulcanica sopra delineato, non si evidenziano elementi tali da suggerire significative evoluzioni a breve termine.

**N.B. Eventuali variazioni dei parametri monitorati possono comportare una diversa evoluzione degli scenari di pericolosità sopra descritti.**

Il monitoraggio dell'area flegrea permane al livello di "Attenzione".

#### Bibliografia

- Caliro S., Chiodini G., Moretti R., Avino R., Granieri D., Russo M. and Fiebig J. (2007) The origin of the fumaroles of La Solfatara (Campi Flegrei, South Italy). *Geochimica et Cosmochimica Acta* **71**, 3040-3055. doi:10.1016/j.gca.2007.04.007.
- Caliro S., Chiodini G., and Paonita A. (2014) Geochemical evidences of magma dynamics at Campi Flegrei (Italy). *Geochim. Cosmochim. Acta* **132**, 1-15. doi:10.1016/j.gca.2014.01.021.
- Chiodini, G. (2009), CO<sub>2</sub>/CH<sub>4</sub> ratio in fumaroles a powerful tool to detect magma degassing episodes at quiescent volcanoes., *Geophys. Res. Lett.*, doi: [10.1029/2008GL036347](https://doi.org/10.1029/2008GL036347)
- Chiodini, G., S. Caliro, C. Cardellini, D. Granieri, R. Avino, A. Baldini, M. Donnini and C. Minopoli (2010), Long-term variations of the Campi Flegrei, Italy, volcanic system as revealed by the monitoring of hydrothermal activity, *J. Geophys. Res.*, **115**, B03205, doi:10.1029/2008JB006258.

- Chiodini, G., R. Avino, S. Caliro, C. Minopoli (2011) Temperature and pressure gas geoindicators at the Solfatara fumaroles (Campi Flegrei). *Annals Geophysics*, 54, 2. doi: 10.4401/ag-5002
- Chiodini G., Caliro S., De Martino P., Avino R. and Gherardi F. (2012). Early signals of new volcanic unrest at Campi Flegrei caldera? Insights from geochemical data and physical simulations. *Gelogy*, doi:10.1130/G33251.1
- Chiodini G., Vandemeulebrouck J., Caliro S, D'Auria L., De Martino P, Mangiacapra A., Petrillo Z. (2015a) Evidence of thermal driven processes triggering the 2005-2014 unrest at Campi Flegrei caldera. *Earth Planet. Sci. Lett.* 414, 58–67. doi:10.1016/j.epsl.2015.01.012
- Chiodini G., Pappalardo L., Aiuppa A. and Caliro S. (2015b) The geological CO<sub>2</sub> degassing history of a long-lived caldera. *Geology*. doi:10.1130/G36905.1
- Chiodini G., Paonita A., Aiuppa A., Costa A., Caliro S., De Martino P., Acocella V. and Vandemeulebrouck J. (2016) Magmas near the critical degassing pressure drive volcanic unrest towards a critical state. *Nat. Commun.* 7, 13712. doi: 10.1038/ncomms13712
- D'Amore F. and Panichi C. (1980) Evaluation of deep temperatures of hydrothermal systems by a new gas geothermometer. *Geochim. Cosmochim. Acta* **44**, 549-556.
- Silvestri M., Diaz J.A., Marotta E., Dalla Via G., Bellucci Sessa E., Caputo T., Buongiorno M.F., Sansivero F., Musacchio M., Belviso P., Carandente A., Peluso R., Nave R., Vilardo G., Doumaz F. and E. Corrales (2017). The 2016 field campaign of la Solfatara volcano: monitoring methods and instruments for volcanic surveillance. *Rapporti Tecnici INGV*, ISSN 2039-7941, Anno 2017, Numero 380.

---

#### ***Responsabilità e proprietà dei dati***

*L'INGV, in ottemperanza a quanto disposto dall'Art.2 del D.L. 381/1999, svolge funzioni di sorveglianza sismica e vulcanica del territorio nazionale, provvedendo alla organizzazione della rete sismica nazionale integrata e al coordinamento delle reti simiche regionali e locali in regime di convenzione con il Dipartimento della Protezione Civile.*

*L'INGV concorre, nei limiti delle proprie competenze inerenti la valutazione della Pericolosità sismica e vulcanica nel territorio nazionale e secondo le modalità concordate dall'Accordo di programma decennale stipulato tra lo stesso INGV e il DPC in data 2 febbraio 2012 (Prot. INGV 2052 del 27/2/2012), alle attività previste nell'ambito del Sistema Nazionale di Protezione Civile. In particolare, questo documento, redatto in conformità all'Allegato A del suddetto Accordo Quadro, ha la finalità di informare il Dipartimento della Protezione Civile circa le osservazioni e i dati acquisiti dalle reti di monitoraggio gestite dall'INGV su fenomeni naturali di interesse per lo stesso Dipartimento.*

*L'INGV fornisce informazioni scientifiche utilizzando le migliori conoscenze scientifiche disponibili; tuttavia, in conseguenza della complessità dei fenomeni naturali in oggetto, nulla può essere imputato all'INGV circa l'eventuale incompletezza ed incertezza dei dati riportati e circa accadimenti futuri che differiscano da eventuali affermazioni a carattere previsionale presenti in questo documento. Tali affermazioni, infatti, sono per loro natura affette da intrinseca incertezza.*

*L'INGV non è responsabile dell'utilizzo, anche parziale, dei contenuti di questo documento da parte di terzi, e/o delle decisioni assunte dal Dipartimento della Protezione Civile, dagli organi di consulenza dello stesso Dipartimento, da altri Centri di Competenza, dai membri del Sistema Nazionale di Protezione Civile o da altre autorità preposte alla tutela del territorio e della popolazione, sulla base delle informazioni contenute in questo documento. L'INGV non è altresì responsabile di eventuali danni recati a terzi derivanti dalle stesse decisioni.*

*La proprietà dei dati contenuti in questo documento è dell'INGV. La diffusione anche parziale dei contenuti è consentita solo per fini di protezione civile ed in conformità a quanto specificatamente previsto dall'Accordo Quadro sopra citato tra INGV e Dipartimento della Protezione Civile.*